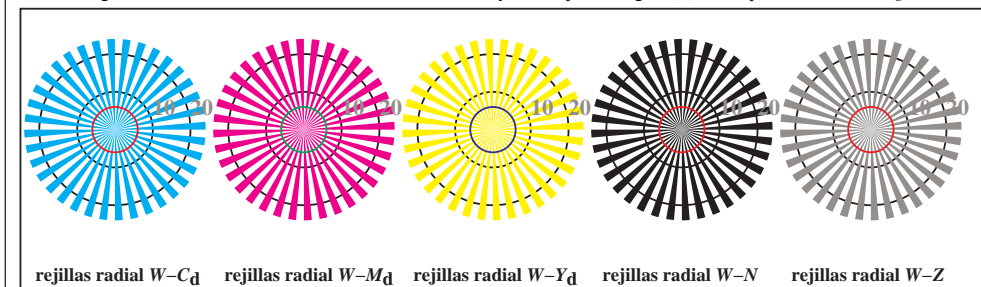


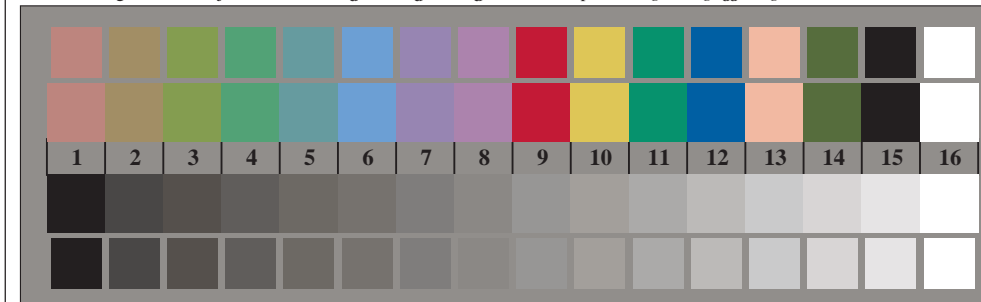


TS990-3, Fig. D1Wdd: motivos florales, CIE 14 colores del test y 2 + 16 pasos de gris (sf); ; PS operator: 4 colorimage

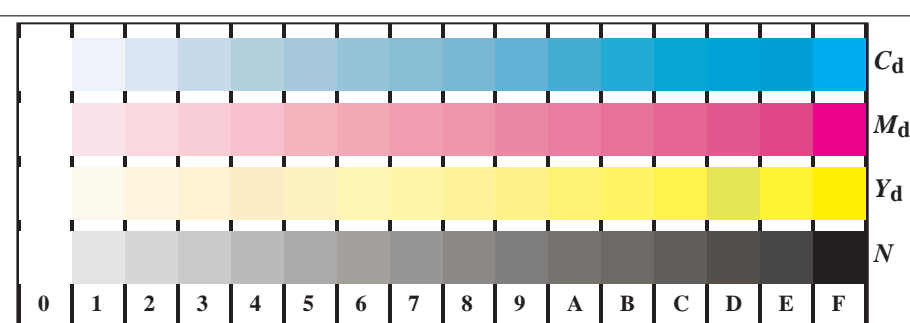


rejillas radial  $W-C_d$  rejillas radial  $W-M_d$  rejillas radial  $W-Y_d$  rejillas radial  $W-N$  rejillas radial  $W-Z$

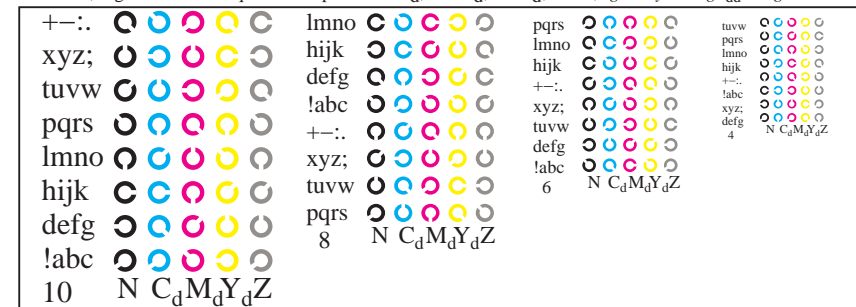
TS990-5, Fig. B2Wdd: rejillas radial  $W-C_d$ ;  $W-M_d$ ;  $W-Y_d$ ;  $W-N$ ; PS operator:  $rgb \rightarrow rgb_{dd}$  setrgbcolor



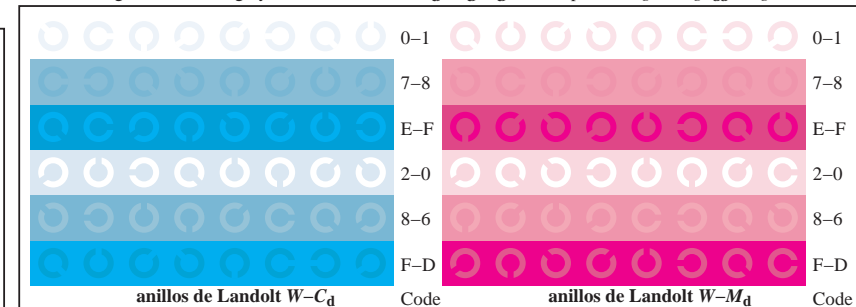
TS990-7, Fig. B3Wdd: CIE 14 colores del test y 2 + 16 pasos de gris (sf); PS operator:  $rgb/cmy0 \rightarrow rgb_{dd}$  setrgbcolor



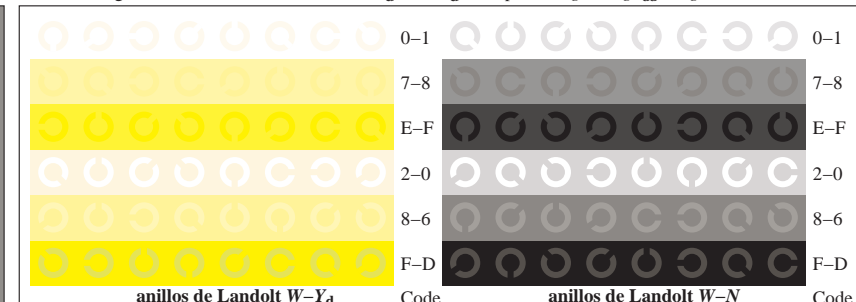
TS991-1, Fig. B4Wdd: 16 equidistante pasos  $W-C_d$ ;  $W-M_d$ ;  $W-Y_d$ ;  $W-N$ ;  $rgb/cmy0 \rightarrow rgb_{dd}$  setrgbcolor



TS991-3, Fig. B5Wdd: código y Landolt anillos  $N$ ;  $C_d$ ;  $M_d$ ;  $Y_d$ ;  $Z$ ; PS operator:  $rgb \rightarrow rgb_{dd}$  setrgbcolor



TS991-5, Fig. B6Wdd: anillos de Landolt  $W-C_d$ ;  $W-M_d$ ; PS operator:  $rgb \rightarrow rgb_{dd}$  setrgbcolor



TS991-7, Fig. B7Wdd: anillos de Landolt  $W-Y_d$ ;  $W-N$ ; PS operator:  $rgb \rightarrow rgb_{dd}$  setrgbcolor